

## (38) ベルレス高炉における円周方向熱レベル偏差と装入物分布偏差との対応

(高炉内円周方向偏差の検出-III)

川崎製鉄技術研究所 ○野村 真 田口整司 近藤幹夫 梶谷暢男  
千葉製鉄所 加藤 明 田中和精 奥村和男

## 1. 緒言

高炉の円周方向における装入物分布制御は、円周方向の熱レベルを均等化する上で重要である。ベルレス高炉では、垂直シート内での原料の偏流に起因した円周方向の装入物分布偏差が生ずる可能性がある。本報では、千葉第6高炉における装入物分布偏差、熱レベル偏差、装入パターン相互間の対応について報告する。

## 2. 装入物分布偏差と熱レベル偏差との対応

<sup>1)</sup> 前報の分析設備により円周方向の炉頂ガス組成を測定し、これをTable 2に示すように高炉を $0^\circ - 180^\circ$ 線で分割した場合のS, N領域間と $90^\circ - 270^\circ$ 線で分割した場合のW, E領域間のガス利用率偏差( $\Delta\eta_{CO}$ )、 $N_2 + Ar$ 濃度偏差( $\Delta N_2 + Ar$ )とガス組成から求められるコークス比偏差( $\Delta CR$ )の推移およびW側の2, 3出銑孔とE側の1, 4出銑孔間の溶銑温度偏差( $\Delta HMT$ )の推移をFig. 1に示す。Fig. 1より、コークス比の高いW側の溶銑温度が高く、さらにW~E領域間のコークス比偏差量の変化に対応して、W~E領域間の溶銑温度偏差量が変化している。

## 3. ベルレス装入パターンと装入物分布偏差

ベルレス高炉では、垂直シート内での原料の偏流の結果、装入パターン(Coke, Ore)に使用する炉頂ホッパーの位置、分配シートの旋回方向)に依存した円周方向の装入物分布偏差が生ずる可能性がある。Table 1に本測定期間での装入パターンの変更状態を示す。装入パターン、特に各炉頂ホッパーからの排出原料銘柄の変更により、W~E領域間のコークス比偏差量が変化している。これらを各装入パターンで分類すると、Ore/Coke分布はTable 2に示すようになる。

## 4. 結言

千葉第6高炉では、ベルレス装入パターンに依存した円周方向の装入物分布偏差が認められ、この偏差量の変化と共に、出銑孔間の溶銑温度偏差量が変化している。

1) 野村、田口、梶谷、加藤、崎村、岩村  
: 鉄と鋼, 68(1982) S117

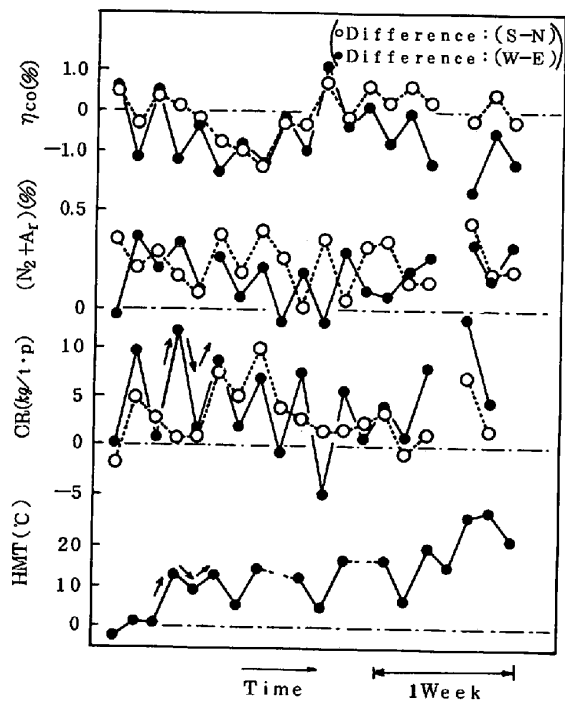


Fig. 1 Variations of circumferential imbalance of  $\eta_{CO}$ ,  $(N_2 + Ar)$ , CR and HMT

Table 1 Sequence of discharging pattern

Discharging material	Hopper(1)	C O C O C O C O C O C O C O C O C O C O	
	Hopper(2)	O C O C O C O C O C O C O C O C O C O C O	
Rotating direction of distributing chute	R R R N N N N N N R R R R R N N N N N R R		
(O:Ore, C:Coke, N:Normal, R:Reverse)			

Table 2 Variation of Ore/Coke distribution caused by the change in charging pattern

Discharging hopper (1)	Coke	Ore	Coke	Ore
Discharging hopper (2)	Ore	Coke	Ore	Coke
Rotating direction of distributing chute	Normal	Normal	Reverse	Reverse
180°(W)	a/c increase			
90°(S)				
0°(E)				
270°(N)	a/c decrease			
Curly arrow				